

ДВОЙНАЯ СПИНОВАЯ КОРРЕЛЯЦИЯ В РЕАКЦИИ $dd \rightarrow pnpn$ И В УПРУГОМ pn -РАССЕЯНИИ

Ю. Н. Узиков^{1, 2, 3, *}, А. А. Темербаев^{4, 5, **}

¹ Объединенный институт ядерных исследований, Дубна

² Московский государственный университет им. М. В. Ломоносова, Москва

³ Государственный университет «Дубна», Дубна, Россия

⁴ Евразийский национальный университет им. Л. Н. Гумилева, Астана

⁵ Астанинский филиал Института ядерной физики, Астана

Неожиданно большая двойная спиновая асимметрия с резкой зависимостью от энергии, обнаруженная в упругом протон-протонном рассеянии на большие углы в интервале энергий в $\sqrt{s_{pp}} = 3\text{--}5,5$ ГэВ, может быть связана с образованием экзотических восьмикварковых резонансов на порогах рождения странности и чарма. Для более глубокого понимания динамики этого процесса важно измерить двойную спиновую корреляцию в упругом pn -рассеянии в той же кинематике. Рассматривается возможность получения этих данных из реакции $dd \rightarrow pnpn$ с двумя поляризованными дейтронами на SPD NICA.

An unexpectedly large double spin correlation with a sharp dependence on energy, found in elastic proton-proton scattering at large angles in the c.m.s. energy range $\sqrt{s_{pp}} = 3\text{--}5.5$ GeV, may be associated with the formation of exotic octoquark resonances at the thresholds of the strangeness and charm production. For a deeper understanding of the dynamics of this process, it is important to measure double spin asymmetry in elastic pn scattering in the same kinematics. A possibility of obtaining such data from the reaction $dd \rightarrow pnpn$ with two polarized deuteron beams on NICA SPD is considered.

PACS: 52.59.Bi; 13.75.Cs; 13.85.–t

ВВЕДЕНИЕ

Упругое рассеяние протона на протоне на угол $\theta_{\text{cm}} = 90^\circ$ в с.ц.м. при инвариантной массе pp -системы $\sqrt{s} = 3\text{--}5$ ГэВ интересно тем, что переданный при этом квадрат 4-импульса t достаточно большой и соответствует очень малым относительным расстояниям между нуклонами, $r_{NN} \sim \hbar/\sqrt{|t|} \leq 0,1$ фм. В этой области пространственного перекрытия нуклонов необходимо использовать кварковые степени свободы при описании динамики этого процесса. Действительно, измеренное

* E-mail: uzikov@jinr.ru

** E-mail: adastr.77@email.ru

дифференциальное сечение упругого pp -рассеяния на фиксированный большой угол $\theta_{\text{cm}} \sim 90^\circ$ при этих и более высоких энергиях в целом следует степенной зависимости от s вида $d\sigma^{pp}/dt(s, \theta_{\text{cm}}) \sim s^{-10}$ [1–4], которая согласуется с правилами кваркового счета (ПКС), являющимися предсказанием как гипотезы автомодельности [5], так и пертурбативной квантовой хромодинамики (пКХД) [6]. Однако имеет место и отклонение от этого предсказания, состоящее в том, что в эксперименте наблюдаются небольшие, но четко видимые осцилляции в энергетической зависимости дифференциального сечения в обсуждаемой области энергий $\sqrt{s} = 3\text{--}6$ ГэВ [1–4].

Для жестких по переданному импульсу инклюзивных процессов квантовая хромодинамика предсказывает свойство цветовой прозрачности (ЦП), которое состоит в том, что адроны, участвующие в жестком процессе в начальном или конечном его состоянии, при взаимодействии с ядерной средой испытывают ослабление поглощения в среде по сравнению с обычным, нежестким процессом [7, 8]. Причиной этого ослабления взаимодействия является то, что в жестком процессе адроны могут эффективно участвовать, только находясь в компактных, точечноподобных конфигурациях, которые и обеспечивают большую передачу импульса, и при этом цветовые дипольные моменты этих адронов, будучи пропорциональными поперечным размерам адронов $\sqrt{\langle r_{\perp}^2 \rangle}$, уменьшаются по величине. По этой причине сечение взаимодействия адрона с ядром также уменьшается пропорционально размеру $\sqrt{\langle r_{\perp}^2 \rangle}$. Свойство цветовой прозрачности установлено экспериментально в процессах с рождением мезонов. Для процессов с барионами экспериментальные указания на существование этого явления в адронных взаимодействиях довольно противоречивы. В частности, в реакции выбивания протонов из ядер протонами $A(p, 2p)B$ эффект ослабления взаимодействия с ядерной средой имеет место при определенных начальных энергиях, но с дальнейшим ростом энергии поглощение протонов в ядре вновь усиливается вопреки предсказанию модели ЦП [9, 10].

Экспериментальные данные по упругому pp -рассеянию поперечно поляризованных протонов на угол $\theta_{\text{cm}} = 90^\circ$ при лабораторных импульсах $p_{\text{lab}} = 1,2\text{--}11,8$ ГэВ/с демонстрируют яркую зависимость сечения от выбора параллельной или антипараллельной взаимной ориентации векторов поляризации сталкивающихся протонов [11–15]. Измеренная спиновая корреляция A_{NN} в этом процессе сильно зависит от энергии и находится в резком противоречии с предсказанием пертурбативной КХД, дающим независящее от энергии значение $A_{NN} = 1/3$. В работе [16] было предложено объяснение этого противоречия между теорией и экспериментом на основе предположения о возбуждении восьмикварковых резонансов $uuuds\bar{s}uud$ и $uuudc\bar{c}uud$ на порогах рождения, соответственно, странности $s\bar{s}$ и чарма $c\bar{c}$. При этом интерференция между пертурбативной КХД-амплитудой перехода и непертурбативной резонансной амплитудой

позволила авторам работы [16] описать не только экспериментальные данные о A_{NN} , но и вышеуказанные осцилляции в энергетической зависимости дифференциального сечения pp -рассеяния на угол $\theta_{\text{см}} \sim 90^\circ$, а также отмеченное выше неожиданное поведение цветовой прозрачности в реакции $A(p, 2p)B$. Однако есть и другое объяснение указанных осцилляций [17], а также поведения ЦП в реакции $(p, 2p)$ — механизм ядерного фильтра [18]. Кроме того, недавние измерения реакции $^{12}\text{C}(e, ep)X$ при $Q^2 = 8-14$ (ГэВ/с)² [19] с целью обнаружить эффект ЦП дали отрицательный результат. Это вызывает вопросы к анализу, проведенному в обеих работах [16, 18] (см. детали в работе [20] и ссылки в ней).

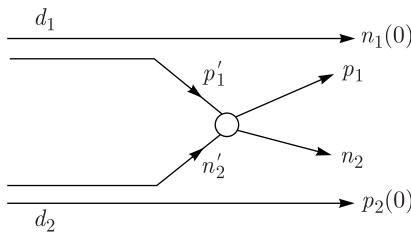
В этой связи представляет значительный интерес получить независимую информацию из двойной спиновой корреляции A_{NN} в упругом pn -рассеянии на угол $\theta_{\text{см}} \sim 90^\circ$ при тех же энергиях, что для pp -рассеяния. Дело в том, что спин-изоспиновая структура процесса $pn \rightarrow pn$ существенно отличается от процесса $pp \rightarrow pp$ наличием изоскалярного канала в pn -рассеянии [21]. Данные об A_{NN} в упругом pn -рассеянии в обсуждаемой области энергий ограничены значениями только в двух точках по переданному импульсу при начальном импульсе 6 ГэВ/с [22]. В данной работе рассматривается возможность получения информации о спиновой корреляции A_{NN} в упругом pn -рассеянии из реакции $dd \rightarrow pnpn$ с двумя поляризованными дейтронами в планируемых экспериментах на SPD NICA.

ЭЛЕМЕНТЫ ФОРМАЛИЗМА

Амплитуда перехода для реакции $dd \rightarrow pnpn$. Предполагая двухполюсный механизм реакции $dd \rightarrow pnpn$ (рисунок), амплитуду перехода можно записать в виде

$$M_{fi} = \sum_{\sigma_{n'_2} \sigma_{p'_1}} \frac{M(d_1 \rightarrow n_1 p'_1) iT_{NN}(p'_1 n'_2 \rightarrow p_1 n_2) iM(d_2 \rightarrow n'_2 p_2)}{(p_{n'_2}^2 - m^2 + i\varepsilon)(p_{p'_1}^2 - m^2 + i\varepsilon)}, \quad (1)$$

где $T_{NN}(p'_1 n'_2 \rightarrow p_1 n_2)$ — амплитуда упругого NN -рассеяния; m — масса нуклона; произведение пропагатора нуклона $(p_{p'_1}^2 - m^2 + i\varepsilon)^{-1}$ и ампли-



Механизм реакции $dd \rightarrow pnpn$

туды виртуального распада дейтрона $d_1 \rightarrow n_1 p'_1$ в выражении (1) может быть записано в виде

$$\frac{M(d_1 \rightarrow n_1 p'_1)}{(p'_{12}{}^2 - m^2 + i\varepsilon)} = -\langle \chi_{\sigma_{n_1}} \chi_{\sigma_{p'_1}} | \phi_{\lambda_1}(\mathbf{q}) \rangle 2m. \quad (2)$$

Здесь мы имеем перекрывание волновой функции дейтрона в импульсном пространстве в спиновом состоянии с проекцией спина λ_1 , $\phi_{\lambda_1}(\mathbf{q})$, с произведением паулевских спиноров нуклонов $\chi_{\sigma_{n_1}}$ и $\chi_{\sigma_{p'_1}}$, где σ_i есть проекция спина i -го нуклона. С учетом (2) амплитуда (1) принимает вид

$$M_{\lambda_1 \lambda_2}^{\sigma_{n_1} \sigma_{p_1} \sigma_{n_2} \sigma_{p_2}} = \sum_{\sigma_{n'_2} \sigma_{p'_1}} \langle \chi_{\sigma_{p_1}}(p_1) \chi_{\sigma_{n_2}}(n_2) | t_{pn} | \chi_{\sigma_{p'_1}}(p_1) \chi_{\sigma_{n'_2}}(n_2) \rangle \times \\ \times \langle \chi_{\sigma_{n_1}} \chi_{\sigma_{p'_1}} | \phi_{\lambda_1}(\mathbf{q}) \rangle \langle \chi_{\sigma_{n'_2}} \chi_{\sigma_{p_2}} | \phi_{\lambda_2}(\mathbf{q}) \rangle. \quad (3)$$

Здесь мы учитываем только S -компоненту волновой функции дейтрона $u(q)$, что дает следующие соотношения:

$$\langle \chi_{\sigma_{n_1}} \chi_{\sigma_{p'_1}} | \phi_{\lambda_1}(\mathbf{q}) \rangle = u(q_1) \left(\frac{1}{2} \sigma_{n_1} \frac{1}{2} \sigma_{p'_1} | 1 \lambda_1 \right), \\ \langle \chi_{\sigma_{p_2}} \chi_{\sigma_{n'_2}} | \phi_{\lambda_2}(\mathbf{q}) \rangle = u(q_2) \left(\frac{1}{2} \sigma_{p_2} \frac{1}{2} \sigma_{n'_2} | 1 \lambda_2 \right), \quad (4)$$

где использованы стандартные обозначения для коэффициентов Клебша–Гордона.

Дифференциальное сечение рассматриваемой реакции с определенными проекциями спинов начальных дейтронов λ_1 и λ_2 может быть записано в виде

$$d\sigma_{\lambda_1 \lambda_2} = \frac{1}{9} K \sum_{\sigma_{n_1} \sigma_{p_1} \sigma_{n_2} \sigma_{p_2}} |M_{\lambda_1 \lambda_2}^{\sigma_{n_1} \sigma_{p_1} \sigma_{n_2} \sigma_{p_2}}|^2 = \\ = \frac{1}{9} K \sum_{\sigma_{n_1} \sigma_{p_1} \sigma_{n_2} \sigma_{p_2}} | \langle \chi_{\sigma_{p_1}}(p_1) \chi_{\sigma_{n_2}}(n_2) | t_{NN} | \chi_{\sigma_{p'_1}=\lambda_1-\sigma_{n_1}}(p_1) \chi_{\sigma_{n'_2}=\lambda_2-\sigma_{p_2}}(n_2) \rangle \times \\ \times \left(\frac{1}{2} \sigma_{n_1} \frac{1}{2} \sigma_{p'_1} | 1 \lambda_1 \right)^2 \left(\frac{1}{2} \sigma_{p_2} \frac{1}{2} \sigma_{n'_2} | 1 \lambda_2 \right)^2 u(q_1)^2 u(q_2)^2, \quad (5)$$

где K — кинематический фактор.

Двойная спиновая корреляция в $dd \rightarrow pnpn$. Неполаризованный дейтронный пучок содержит компоненты спиновых состояний с z -проекциями $\lambda = \pm 1, 0$ в равных долях: $N_+ = N_- = N_0$. Пучки со спином «вверх» (N_\uparrow) и спином «вниз» (N_\downarrow) приготавливаются путем переворота спина состояний с $\lambda = 1$ и $\lambda = -1$ соответственно:

$$N_\uparrow = N_+ + N_- + N_0, \\ N_\downarrow = N_- + N_+ + N_0. \quad (6)$$

Поляризация пучка в направлении оси OY , направленной вдоль магнитного поля, дается следующей асимметрией:

$$P_Y = \frac{N_{\uparrow} - N_{\downarrow}}{N_{\uparrow} + N_{\downarrow}} = \frac{N_+ - N_-}{N_+ + N_0 + N_-}. \quad (7)$$

Тензорная поляризация (выстроенность) есть

$$P_{YY} = \frac{N_{\lambda=+1} + N_{\lambda=-1} - 2N_{\lambda=0}}{N_{\lambda=+1} + N_{\lambda=-1} + N_{\lambda=0}}. \quad (8)$$

Можно видеть из формул (6), (7) и (8), что для N_{\uparrow} (N_{\downarrow}) вектор поляризации пучка есть $P_y = +2/3$ ($P_y = -2/3$), в то время как тензорная поляризация равна нулю: $P_{YY} = 0$.

Рассмотрим столкновение двух дейтронных пучков в двух случаях с различными поляризациями пучков $P_y(1)$ и $P_y(2)$: 1) $P_y(1) = +2/3$, $P_y(2) = +2/3$ и 2) $P_y(1) = +2/3$, $P_y(2) = -2/3$. Число событий для первого случая обозначим $\mathcal{N}_{\uparrow\uparrow}$, а для второго — $\mathcal{N}_{\uparrow\downarrow}$. Тогда двойная спиновая асимметрия определяется как отношение

$$A_{YY}^{dd} = \frac{\mathcal{N}_{\uparrow\uparrow} - \mathcal{N}_{\uparrow\downarrow}}{\mathcal{N}_{\uparrow\uparrow} + \mathcal{N}_{\uparrow\downarrow}}. \quad (9)$$

В терминах $d\sigma_{\lambda_1\lambda_2}$ получаем число событий

$$\begin{aligned} \mathcal{N}_{\uparrow\uparrow} &= L(2 \cdot 2d\sigma_{++} + 2d\sigma_{+0} + 2d\sigma_{0+} + d\sigma_{00}), \\ \mathcal{N}_{\uparrow\downarrow} &= L(2 \cdot 2d\sigma_{+-} + 2d\sigma_{+0} + 2d\sigma_{0-} + d\sigma_{00}), \end{aligned} \quad (10)$$

где множитель L учитывает светимость и эффективность детектора. Используя выражение (5), находим

$$\begin{aligned} d\sigma_{\lambda_1=+1\lambda_2=+1} &= \\ &= f \sum_{\sigma_{p_1}\sigma_{n_2}} |\langle \chi_{\sigma_{p_1}}(p_1)\chi_{\sigma_{n_2}}(n_2) | t_{NN} | \chi_{\sigma_{p'_1}=+1/2}(p_1)\chi_{\sigma_{n'_2}=+1/2}(n_2) \rangle|^2, \end{aligned} \quad (11)$$

$$\begin{aligned} d\sigma_{\lambda_1=+1\lambda_2=-1} &= \\ &= f \sum_{\sigma_{p_1}\sigma_{n_2}} |\langle \chi_{\sigma_{p_1}}(p_1)\chi_{\sigma_{n_2}}(n_2) | t_{NN} | \chi_{\sigma_{p'_1}=+1/2}(p_1)\chi_{\sigma_{n'_2}=-1/2}(n_2) \rangle|^2, \end{aligned}$$

где $f = u(q_1)^2 u(q_2)^2$. Далее используем следующие соотношения:

$$\begin{aligned} \sum_{\sigma_{p_1}\sigma_{n_2}} |\langle \chi_{\sigma_{p_1}}(p_1)\chi_{\sigma_{n_2}}(n_2) | t_{NN} | \chi_{\sigma_p}(p)\chi_{\sigma_n}(n) \rangle|^2 &= \\ &= \sum_{\sigma_{p_1}\sigma_{n_2}} |\langle \chi_{\sigma_{p_1}}(p_1)\chi_{\sigma_{n_2}}(n_2) | t_{pn} | \chi_{-\sigma_p}(p)\chi_{-\sigma_n}(n) \rangle|^2. \end{aligned} \quad (12)$$

Эти соотношения получаются, если совершить поворот на угол $\theta = \pi$ вокруг оси, ортогональной оси квантования, и учесть вращательную

инвариантность. Учитывая (12), находим из формул (5) следующие соотношения:

$$d\sigma_{0,1} = d\sigma_{0,-1} = d\sigma_{-1,0} = d\sigma_{1,0} = d\sigma_{0,0}. \quad (13)$$

В результате двойная спиновая асимметрия, даваемая выражением (9), может быть представлена в виде

$$A_{YY}^{dd} = \frac{d\sigma_{+1,+1} - d\sigma_{+1,-1}}{d\sigma_{+1,+1} - d\sigma_{+1,-1} + \frac{5}{2}d\sigma_{0,0}} = \frac{4}{9}A_{YY}^{NN}, \quad (14)$$

где A_{YY}^{NN} есть двойная спиновая асимметрия в процессе упругого NN -рассеяния, который является подпроцессом реакции $dd \rightarrow pnprn$ (см. рисунок):

$$A_{YY}^{NN} = \frac{F_{\chi_{+1/2}(p)\chi_{+1/2}(n)} - F_{\chi_{+1/2}(p)\chi_{-1/2}(n)}}{F_{\chi_{+1/2}(p)\chi_{+1/2}(n)} + F_{\chi_{+1/2}(p)\chi_{-1/2}(n)}}. \quad (15)$$

Здесь $F_{\chi_{+1/2}(p)\chi_{+1/2}(n)} = \sum_{\sigma_{p_1}\sigma_{n_2}} |\langle \chi_{\sigma_{p_1}}(p_1)\chi_{\sigma_{n_2}}(n_2) | t_{NN} | \chi_{\sigma_{p'_1}=+1/2}(p_1) \times \chi_{\sigma_{n'_2}=+1/2}(n_2) \rangle|^2$ и $F_{\chi_{+1/2}(p)\chi_{-1/2}(n)} = \sum_{\sigma_{p_1}\sigma_{n_2}} |\langle \chi_{\sigma_{p_1}}(p_1)\chi_{\sigma_{n_2}}(n_2) | t_{NN} | \chi_{\sigma_{p'_1}=+1/2}(p_1) \chi_{\sigma_{n'_2}=-1/2}(n_2) \rangle|^2$.

Параметр спиновой корреляции $C_{y,y}$. С использованием стандартных обозначений [23] дифференциальное поперечное сечение I взаимодействия двух частиц со спинами $s_1 = s_2 = 1$ может быть записано как

$$I = I_0 \left(1 + \frac{3}{2}P_y A_y + \frac{3}{2}P_y^T A_y^T + \frac{9}{4}P_y P_y^T C_{y,y} \right), \quad (16)$$

где P_y (P_y^T) есть поляризация пучка (мишени); A_y (A_y^T) — векторная анализирующая способность по отношению к поляризованному пучку (мишени) и $C_{y,y}$ — коэффициент спин-спиновой корреляции; I_0 есть I для неполяризованных частиц. Поперечное сечение обозначим как $I_{\uparrow\uparrow}$ для первого варианта столкновений дейтронных пучков и $I_{\uparrow\downarrow}$ — второго. Используя формулу (16), можно легко найти следующее выражение:

$$C_{y,y} = \frac{(I_{\uparrow\uparrow} - I_{\uparrow\downarrow}) + (I_{\downarrow\downarrow} - I_{\downarrow\uparrow})}{(I_{\uparrow\uparrow} + I_{\uparrow\downarrow}) + (I_{\downarrow\downarrow} + I_{\downarrow\uparrow})}, \quad (17)$$

где $I_{\uparrow\uparrow}$ и $I_{\uparrow\downarrow}$ определены выражениями (10), при этом $I_{\uparrow\downarrow} = I_{\downarrow\uparrow}$, а $\mathcal{N}_{\downarrow\downarrow}$ есть

$$\mathcal{N}_{\downarrow\downarrow} = L(2 \cdot 2d\sigma_{-1,-1} + 2d\sigma_{-1,0} + 2d\sigma_{0,-1} + d\sigma_{0,0}). \quad (18)$$

Используя эти соотношения и учитывая $d\sigma_{-1,0} = d\sigma_{0,+1}$ в выражении (13), находим из (17)

$$C_{y,y} = \frac{4}{9}A_{YY}^{NN}. \quad (19)$$

Следовательно, $C_{y,y}$ в (19) совпадает с A_{YY}^{dd} , определенным в (9).

ЗАКЛЮЧЕНИЕ

Упругое нуклон-нуклонное рассеяние является базовым процессом в физике адронов и атомных ядер. Наше понимание имеющихся данных об упругом pp -рассеянии с двумя поляризованными протонами при больших углах рассеяния $\theta_{\text{cm}} \sim 90^\circ$ в области энергий $\sqrt{s_{NN}} = 3\text{--}6$ ГэВ еще недостаточно полное.

Новую важную информацию о динамике NN -упругого рассеяния можно получить из дважды поляризованного упругого pn -рассеяния. Мы показали здесь, что измерение двойной спиновой асимметрии в реакции $dd \rightarrow pnpn$ в кинематике, обеспечивающей доминирование двухполюсной диаграммы, изображенной на рисунке, одновременно является измерением двойной спиновой асимметрии в упругом рассеянии pN . Это соотношение справедливо для любой ориентации оси квантования в случае, когда S -волна доминирует в волновой функции дейтрона. Доминирование S -волны имеет место в случае, когда конечный нейтрон $n_1(0)$ и конечный протон $p_2(0)$ летят в направлении соответствующего начального дейтронного пучка и уносят половину импульса соответствующего начального дейтрона. Такие условия могут быть использованы в эксперименте SPD NICA [24, 25]. Вклад D -волны и эффекты взаимодействия в начальном и конечном состояниях будут рассмотрены отдельно.

Относительно скорости счета N этого процесса следует отметить, что дифференциальное поперечное сечение упругого pp -рассеяния при $\sqrt{s_{NN}} = 5$ ГэВ и $\theta_{\text{cm}} = 90^\circ$ равно $\sim 10^{-2}$ мкб/ср [2]. При светимости $\sim 10^{29}$ см $^{-2}$ · с $^{-1}$ в pp -рассеянии [24] это соответствует $N \sim 10^{-3}$ /с. Однако для меньшего угла рассеяния, $\theta_{\text{cm}} = 50^\circ$, это число увеличивается на два порядка величины [20].

Благодарности. Один из соавторов (Ю. Н. Узиков) благодарен Н. М. Пискунову за пояснение свойств поляризованных пучков дейтронов. Работа поддержана грантом Научной программы между Республикой Казахстан и ОИЯИ на 2023 г.

СПИСОК ЛИТЕРАТУРЫ

1. *Allaby J. et al.* Structure in the Angular Distribution of High Energy Proton-Proton Scattering // Phys. Lett. B. 1968. V. 28. P. 67–71.
2. *Akerlof C., Hieber R., Krisch A., Edwards K., Ratner L., Ruddick K.* Elastic Proton-Proton Scattering at 90° and Structure within the Proton // Phys. Rev. 1967. V. 159. P. 1138–1149.
3. *Perl M. L., Cox J., Longo M. J., Kreisler M.* Neutron-Proton Elastic Scattering from 2 GeV/c to 7 GeV/c // Phys. Rev. D. 1970. V. 1. P. 1857.
4. *Stone J., Chanowski J., Gustafson H., Longo M., Gray S.* Large Angle Neutron-Proton Elastic Scattering from 5 GeV/c to 12 GeV/c // Nucl. Phys. B. 1978. V. 143. P. 1–39.

5. *Matveev V. A., Muradian R. M., Tavkhelidze A. N.* Automodellism in the Large-Angle Elastic Scattering and Structure of Hadrons // *Lett. Nuovo Cim.* 1973. V. 7. P. 719–723.
6. *Brodsky S. J., Farrar G. R.* Scaling Laws at Large Transverse Momentum // *Phys. Rev. Lett.* 1973. V. 31. P. 1153–1156.
7. *Mueller A.* // Proc. of the 17th Rencontre de Moriond, Moriond, 1982. Gif-sur-Yvette, 1982. P. 13–20.
8. *Brodsky S.* // Proc. of the 13th Intern. Symp. on Multipart. Dynamics. Singapore, 1982. P. 963.
9. *Mardor I. et al.* Nuclear Transparency in Large Momentum Transfer Quasi-elastic Scattering // *Phys. Rev. Lett.* 1998. V. 81. P. 5085–5088.
10. *Aclander J. et al.* Nuclear Transparency in $90^\circ_{\text{c.m.}}$ Quasielastic $A(p, 2p)$ Reactions // *Phys. Rev. C.* 2004. V. 70. P. 015208; arXiv:nucl-ex/0405025.
11. *Crabb D. et al.* Spin Dependence of High- P_\perp Elastic $p-p$ Scattering // *Phys. Rev. Lett.* 1978. V. 41. P. 1257.
12. *Bhatia T. S. et al.* Spin Correlation for pp Elastic Scattering at $\theta_{\text{c.m.}} = \pi/2$ in the Energy Region of Dibaryon Resonances // *Phys. Rev. Lett.* 1982. V. 49. P. 1135–1138.
13. *Lin A. et al.* Energy Dependence of Spin-Spin Forces in $90^\circ_{\text{c.m.}}$ Elastic pp Scattering // *Phys. Lett. B.* 1978. V. 74. P. 273–276.
14. *Crosbie E. et al.* Energy Dependence of Spin-Spin Effects in pp Elastic Scattering at $90^\circ_{\text{c.m.}}$ // *Phys. Rev. D.* 1981. V. 23. P. 600.
15. *Court G. et al.* Energy Dependence of Spin Effects in $p_\uparrow p_\uparrow \rightarrow pp$ // *Phys. Rev. Lett.* 1986. V. 57. P. 507.
16. *Brodsky S. J., de Teramond G.* Spin Correlations, QCD Color Transparency and Heavy Quark Thresholds in Proton Proton Scattering // *Phys. Rev. Lett.* 1988. V. 60. P. 1924.
17. *Ralston J. P., Pire B.* Oscillatory Scale Breaking and the Chromo-Coulomb Phase Shift // *Phys. Rev. Lett.* 1982. V. 49. P. 1605.
18. *Ralston J. P., Pire B.* Fluctuating Proton Size and Oscillating Nuclear Transparency // *Phys. Rev. Lett.* 1988. V. 61. P. 1823.
19. *Bhetuwal D. et al. (Hall C Collab.).* Ruling Out Color Transparency in Quasi-Elastic $^{12}\text{C}(e, e'p)$ up to Q^2 of 14.2 (GeV/c) 2 . arXiv:2011.00703. 2020.
20. *Larionov A. B.* Color Coherence Effects in the Reaction $\text{H}_2(p, 2p)n$ // *Phys. Rev. C.* 2023. V. 107, No. 1. P. 014605; arXiv:2208.08832.
21. *Rekalo M. P., Tomasi-Gustafsson E.* Threshold J/ψ Production in Nucleon-Nucleon Collisions // *New J. Phys.* 2002. V. 4. P. 68; arXiv:nucl-th/0204066.
22. *Crabb D. G. et al.* Spin-Spin Forces in 6-GeV/ c Neutron-Proton Elastic Scattering // *Phys. Rev. Lett.* 1979. V. 43. P. 983.
23. *Ohlsen G. G.* Polarization Transfer and Spin Correlation Experiments in Nuclear Physics // *Rep. Prog. Phys.* 1972. V. 35. P. 717–801.
24. *Abramov V. V. et al.* Possible Studies at the First Stage of the NICA Collider Operation with Polarized and Unpolarized Proton and Deuteron Beams // *Phys. Part. Nucl.* 2021. V. 52, No. 6. P. 1044–1119; arXiv:2102.08477.
25. *Uzikov Y. N.* Possible Studies at the First Stage of the NICA SPD Physics Program // *Phys. Atom. Nucl.* 2022. V. 85, No. 6. P. 1034–1044.